

FIG. 1

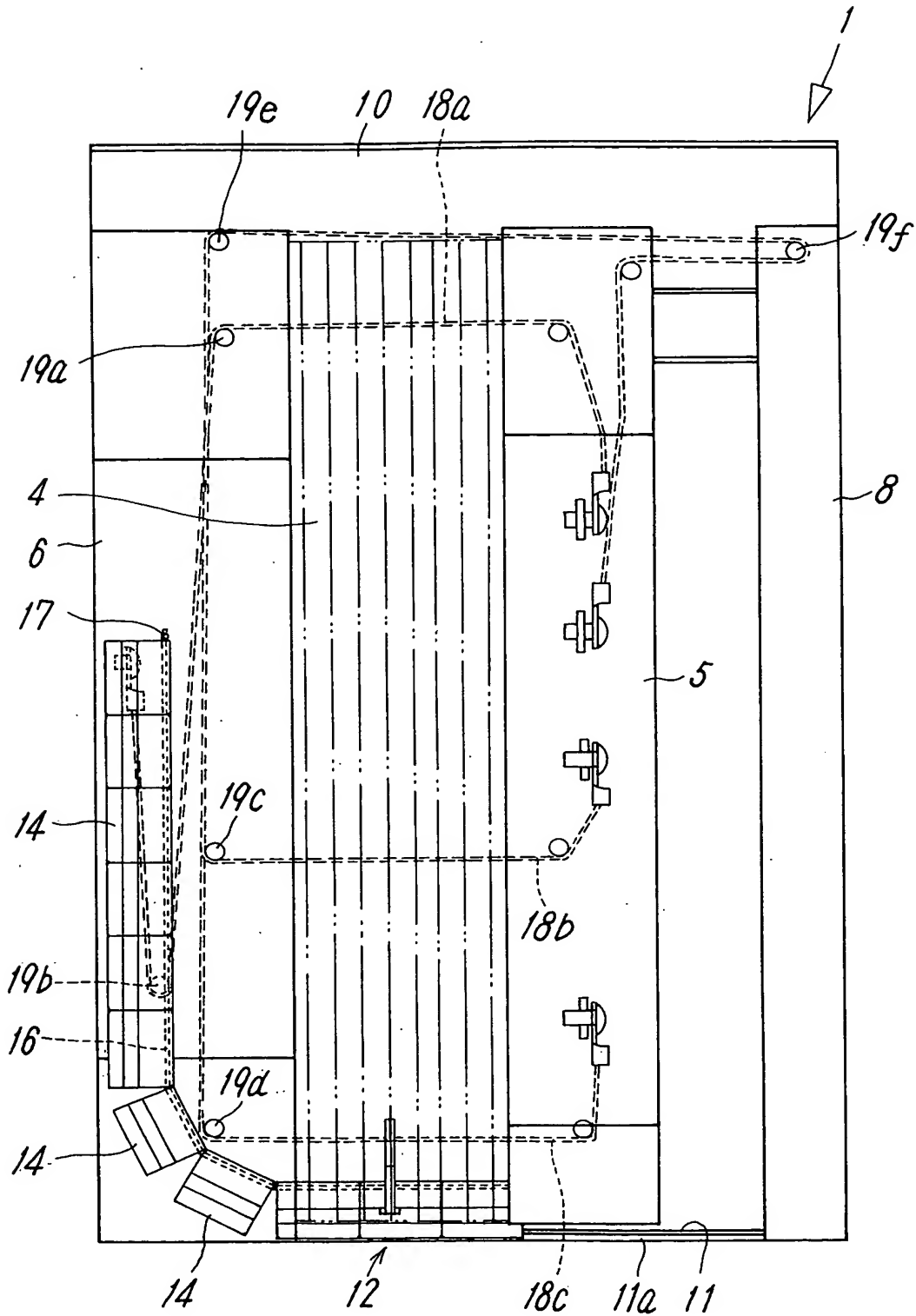


FIG. 2

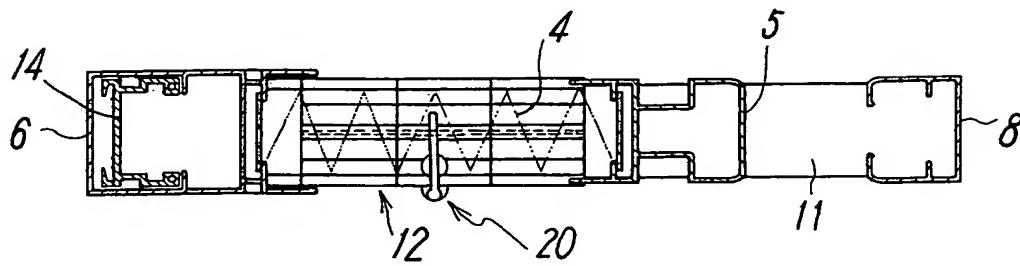


FIG. 3

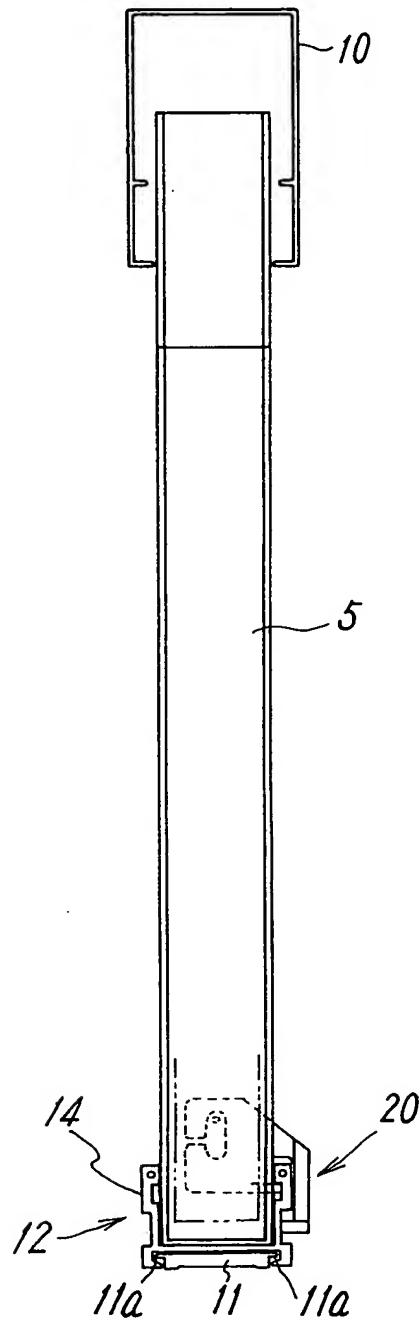


FIG. 4

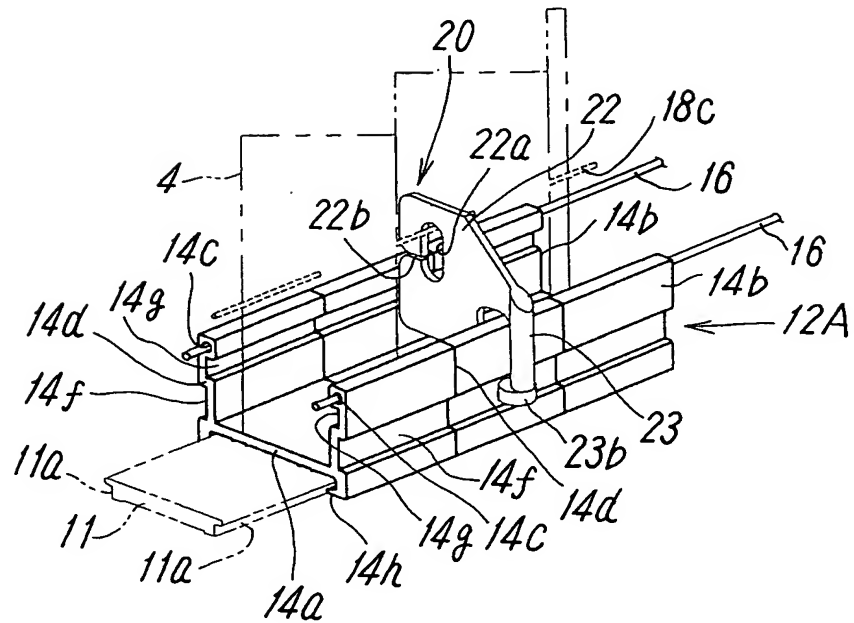


FIG. 5

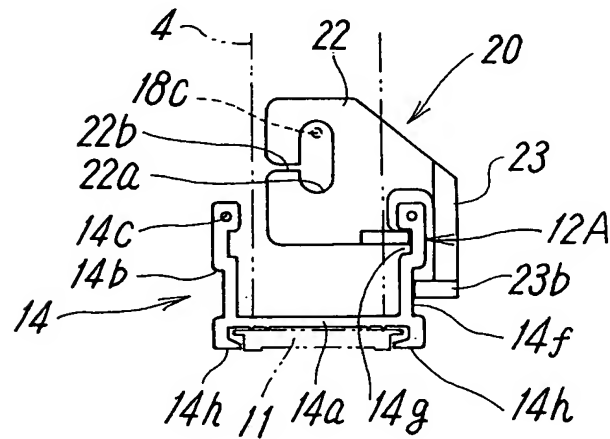


FIG. 6

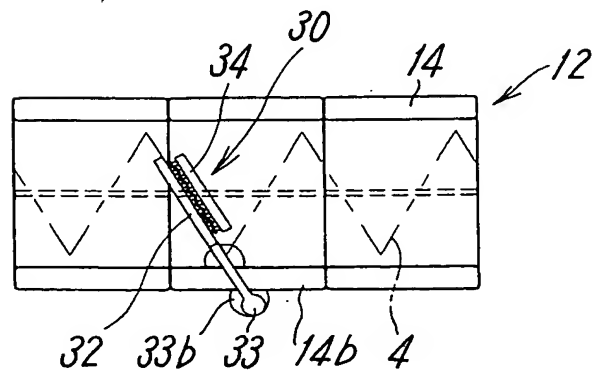


FIG. 7

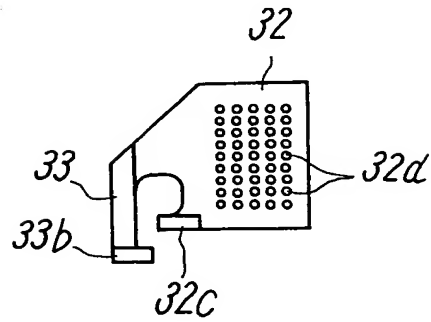


FIG. 8

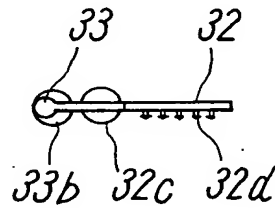


FIG. 9

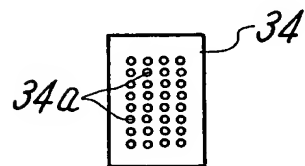


FIG. 10

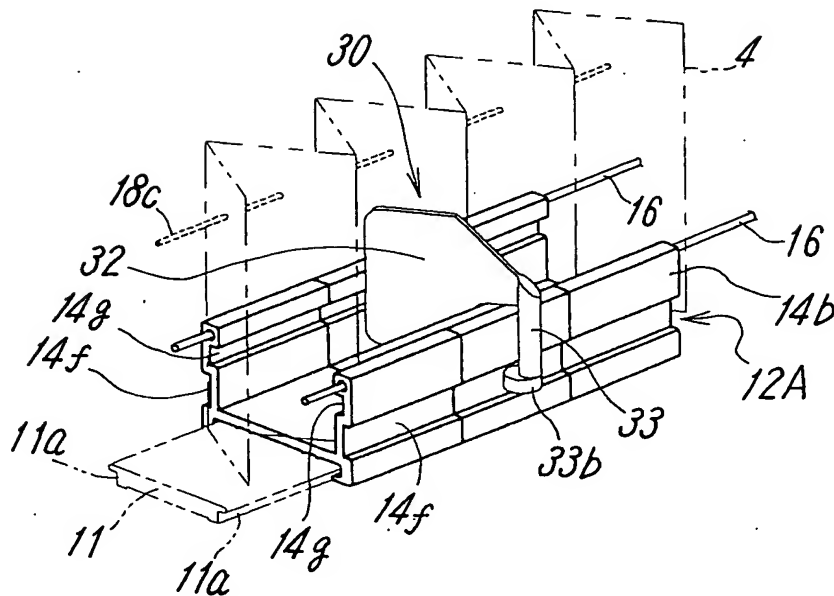


FIG. 11

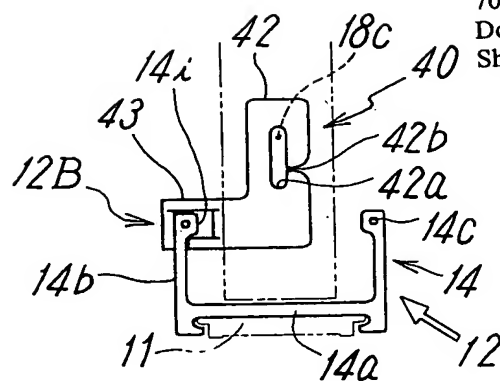


FIG. 12

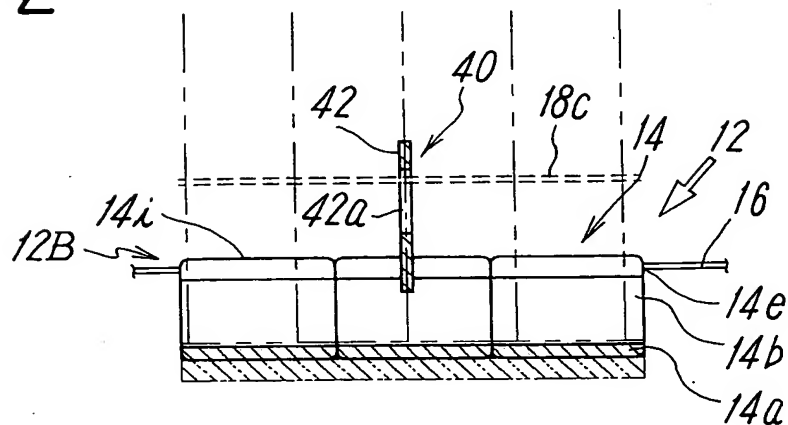


FIG. 13

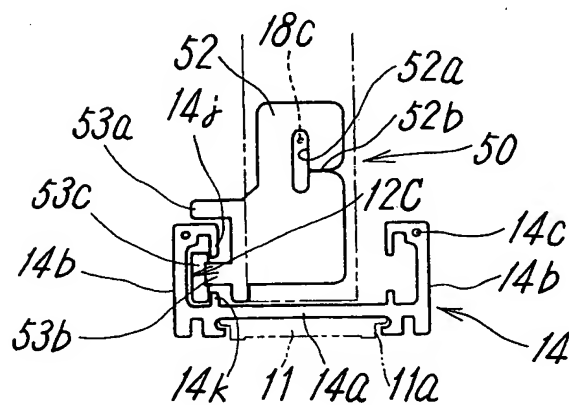


FIG. 14

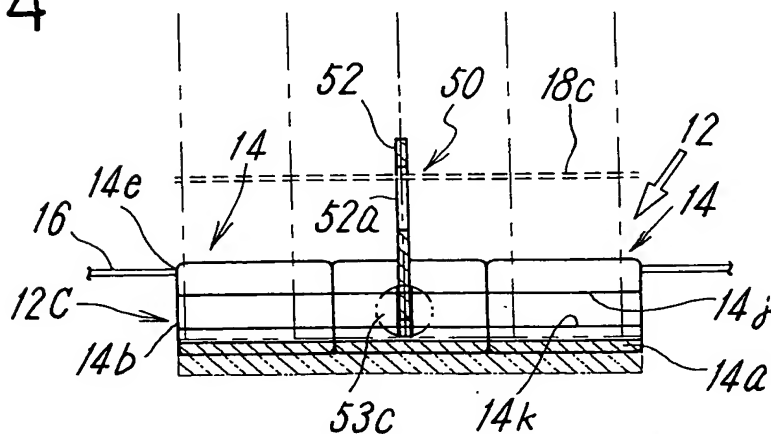


FIG. 15

Oblon, Spivak, et al.
703-413-3000
Docket # 288942US3PCT
Sheet 6 of 11

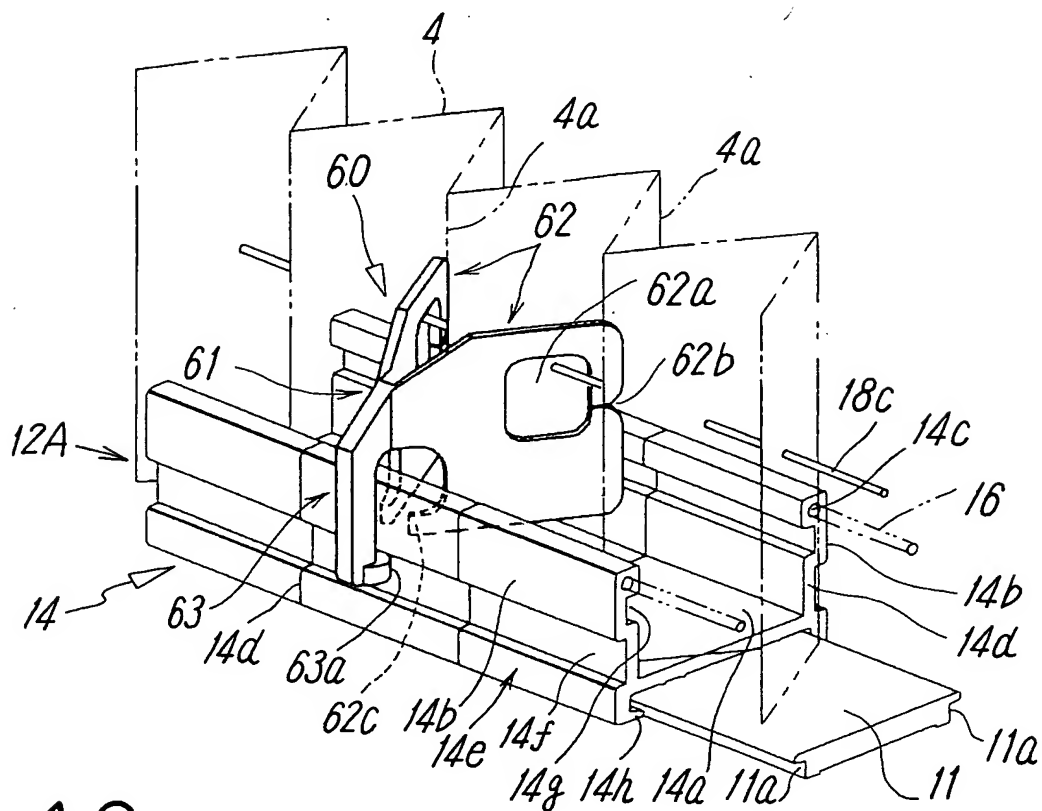


FIG. 16

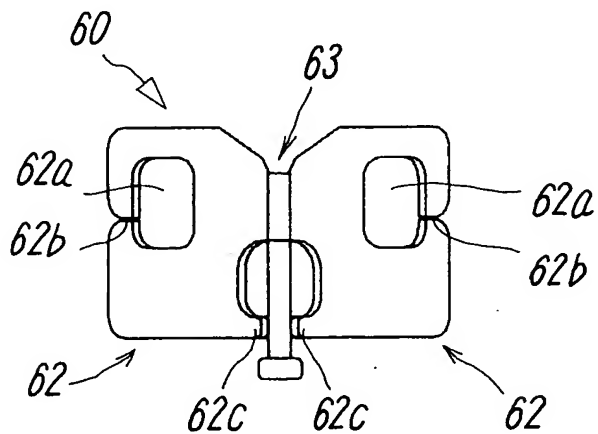


FIG. 17

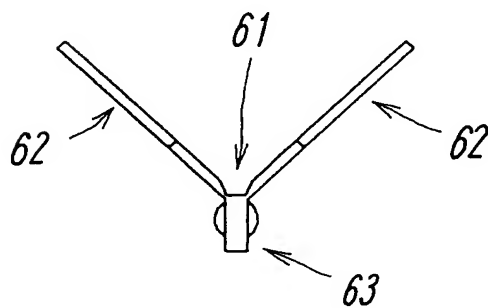


FIG. 18

Oblon, Spivak, et al.
703-413-3000
Docket # 288942US3PCT
Sheet 7 of 11

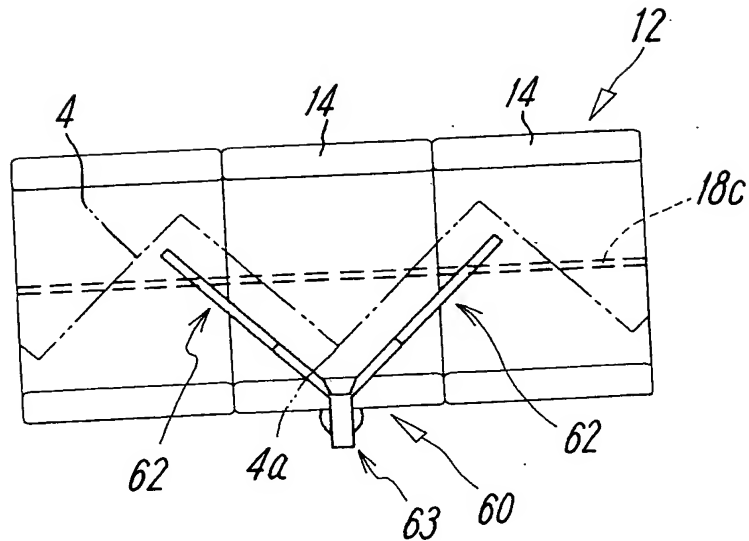


FIG. 19

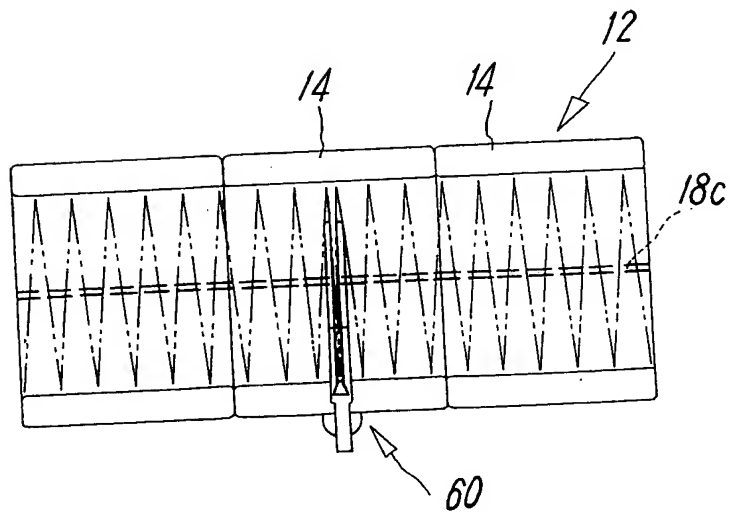


FIG. 20

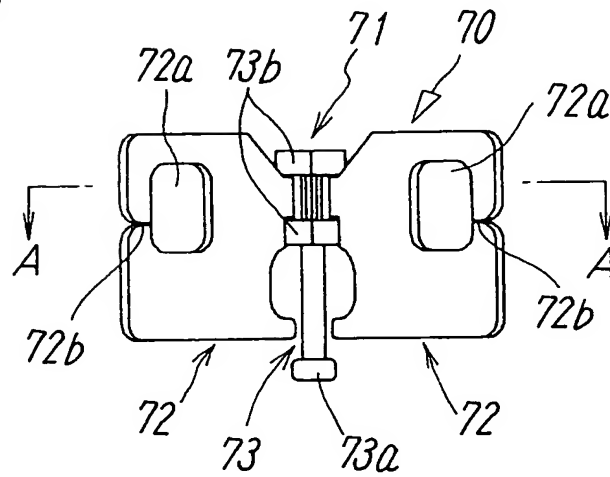


FIG. 21

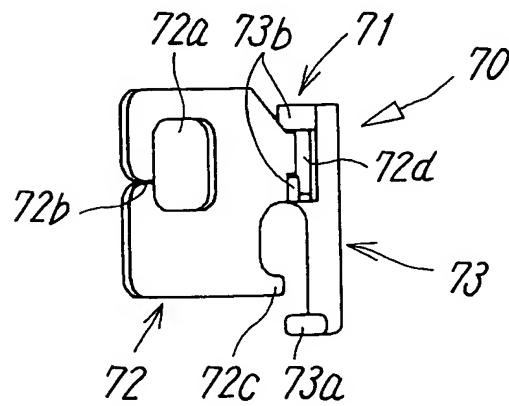


FIG. 22

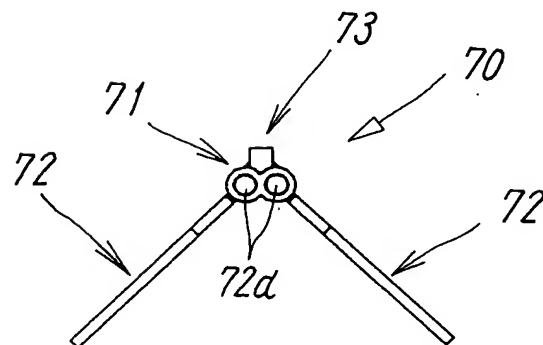


FIG. 23

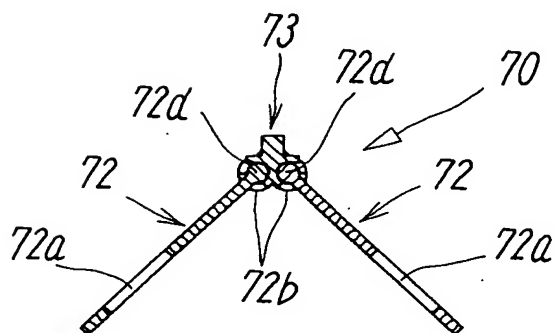


FIG. 24

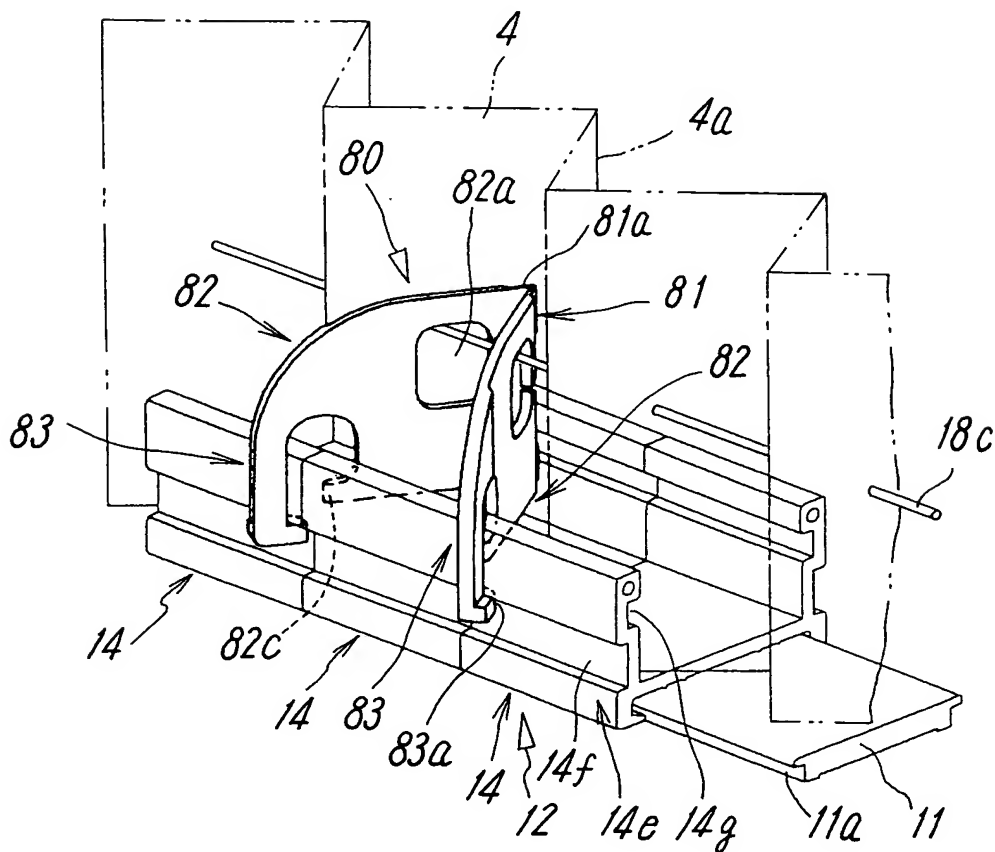


FIG. 25

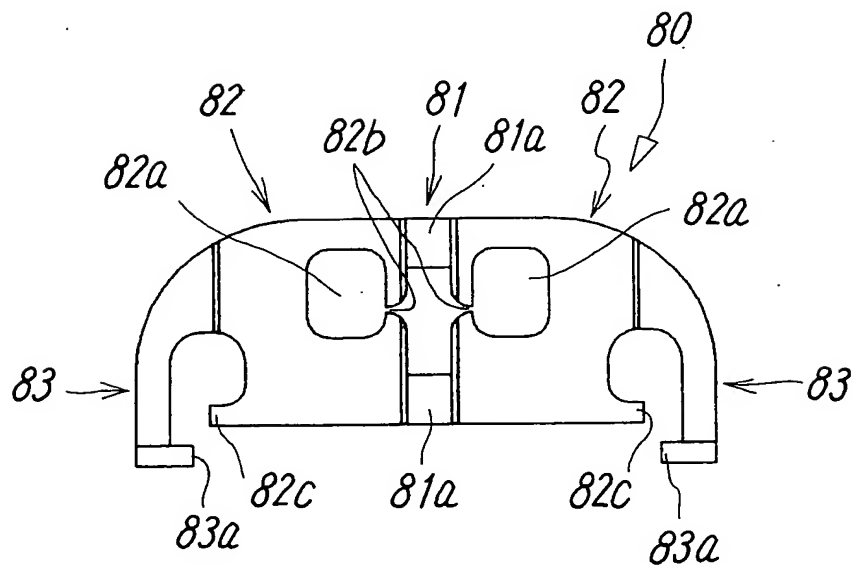


FIG. 26

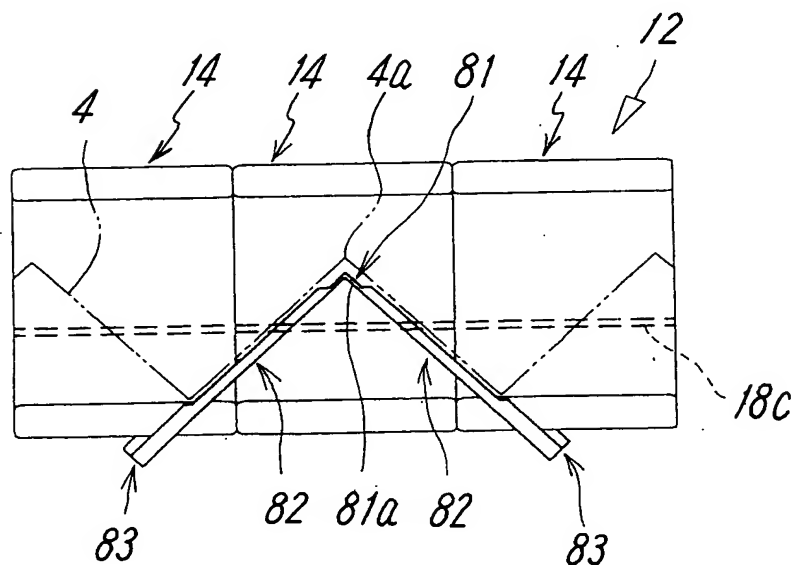


FIG. 27

